

Ce - Si

VIII 2580

1949

U<sub>Si<sub>2</sub></sub>, M<sub>Si<sub>2</sub></sub>, Pu<sub>Si<sub>2</sub></sub>, Ce Si<sub>2</sub> (rc)

Zachariasen W.H.,

Acta crystallogr., 1949, 2, 94-99

Mr

CA, 1949, 6484gi

VII 975

1956.

NbSi<sub>0,55+0,1</sub>, Nb<sub>5</sub>Si<sub>3</sub> - (4 Hf)

WC - (4 S), Mo<sub>2</sub>C, MoC - (4 Hg, 4 Sg)

NbSi<sub>0,55+0,1</sub>, Nb<sub>5</sub>Si<sub>3</sub>, Zr<sub>5</sub>Si<sub>3</sub>,  
Ti<sub>5</sub>Si<sub>3</sub>, TiSi, TiSi<sub>2</sub>, CeSi<sub>2</sub>,

Brewer Leo, Krikorian Oscar,  
J. Electrochem. Soc., 1956, 103, N1, 38-51.

Reactions of refractory silicide with carbon  
and nitrogen.

RX., 1958, 400..

M

leuc q.k.

VI 1564

1957

CeSiO<sub>4</sub>, Mg<sub>2</sub>SiO<sub>4</sub>, Fe<sub>2</sub>SiO<sub>4</sub> ( $\delta$ Hf)

Синк О. А.

Чехословакия, 1957, 26, №12, 1374-87

О структуре расплавленных силикатов

PJM, 1958, 16385

W.

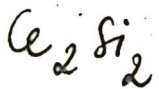
196

# Се - силикаты

20Б285. Реакции между  $\text{Ce}_2\text{O}_3$  и  $\text{SiO}_2$  при высоких температурах. Леонов А. И., Руденко В. С., Келлер Э. К. «Изв. АН СССР. Отд. хим. н.», 1961, № 11, 1925—1933.—Изучено взаимодействие в твердых фазах в системе  $\text{Ce}_2\text{O}_3$  —  $\text{SiO}_2$ . Нагревание смесей осуществлялось в водороде. В системе  $\text{Ce}_2\text{O}_3$  —  $\text{SiO}_2$  образуются три соединения:  $\text{Ce}_2\text{O}_3 \cdot 2\text{SiO}_2$ ,  $2\text{Ce}_2\text{O}_3 \cdot 3\text{SiO}_2$  и  $\text{Ce}_2\text{O}_3 \cdot 2\text{SiO}_2$ . Кристаллич.  $\text{Ce}_2\text{O}_3 \cdot 2\text{SiO}_2$  синтезирован из стехиометрич. смеси. Соединения  $\text{Ce}_2\text{O}_3 \cdot \text{SiO}_2$  и  $2\text{Ce}_2\text{O}_3 \cdot 3\text{SiO}_2$  неустойчивы и в соответствующих им стехиометрич. смесях в виде чистых кристаллич. фаз не образуются. Силикаты Ce разлагаются при нагревании на воздухе. Устойчивость их возрастает в ряду:  $\text{Ce}_2\text{O}_3 \cdot \text{SiO}_2 < 2\text{Ce}_2\text{O}_3 \cdot 3\text{SiO}_2 < \text{Ce}_2\text{O}_3 \cdot 2\text{SiO}_2$ . Т-ры их разложения равны соответственно: 300—500; 600—700 и 900°.

Из резюме авторов

х. 1962. 20.



Изагорьевский З.Т. 1965

Изд. АН СССР, Издат. науко-  
техн., 1, № 5, 206 - 210.

Соединение  $\text{La}_3\text{Si}_2$ ,  $\text{Ce}_3\text{Si}_2$ ,  
 $\text{Pr}_3\text{Si}_2$  и их кристалл. структу-  
ры.  
(авт.  $\text{La}_3\text{Si}_2$ )

1966

~~Ce<sub>2</sub>Si<sub>2</sub>~~ CeSi, CeSi<sub>2</sub>Ce<sub>2</sub>Si<sub>2</sub>Ce<sub>3</sub>Si<sub>2</sub>

Th

5 Б724. Исследование тройных сплавов церий — торий (уран) — кремний. Велесовский F., Nowotny H., Rieger W., Rassaerts H. Untersuchungen in den Dreistoffen Cer—Thorium(Uran)—Silicium. «Monatsh. Chem.», 1966, 97, № 1, 221—229 (нем., рез. англ.)

Сплавы Ce—Th(U)—Si готовили путем спекания порошков при 850—1300° в вакууме  $10^{-4}$ — $10^{-5}$  мм и исследовали рентгенографич. методом. В системе Ce—Si установлены конгруэнтно плавящиеся соединения Ce<sub>2</sub>Si и Ce<sub>3</sub>Si<sub>2</sub> (т. пл.  $\sim 1400^\circ$ ), Ce<sub>1,2</sub>Si(Ce<sub>6</sub>Si<sub>5</sub>) ( $\sim 1430^\circ$ ), CeSi<sub>2</sub> (1470°) и CeSi<sub>2</sub> (1620°), образующие эвтектики с исходными компонентами. Обнаружена разлагающаяся до плавления фаза CeSi<sub>2-x</sub>, отличная по структуре от CeSi<sub>2</sub>. Фаза Ce<sub>3</sub>Si<sub>2</sub> кристаллизуется в структурном типе U<sub>3</sub>Si<sub>2</sub>,  $a = 7,805$ ,  $c = 4,349$  Å. В системах U—Si и Th—Si подтверж-

ДР-1122-1111

x. 1967. 5

дено существование соединений  $U_3Si$ ,  $U_3Si_2$ ,  $USi$ ,  $\alpha$ - и  $\beta-USi_2$  и  $Th_3Si_2$ ,  $ThSi$ ,  $Th_3Si_5$ ,  $\alpha$ - и  $\beta-ThSi_2$ . В системе  $Ce-Th-Si$  тройные соединения отсутствуют. Обнаружен непрерывный ряд тв. р-ров (при  $1200-1100^\circ$ )  $ThSi_2-CeSi_2$ ,  $ThSi-CeSi$  и  $Th_3Si_2-Ce_3Si_2$  и ограниченные тв. р-ры на основе  $Th_3Si_5$  и  $CeSi_{2-x}$ . Имеются 3-фазные равновесия  $(Th, Ce)Si_2-Th_3Si_5-CeSi_{2-x}$ ,  $(Th, Ce)Si-Th_3Si_5-CeSi(2-x)$ ,  $(Th, Ce)Si-(Th, Ce)_3Si_2-Ce_{1,2}Si$  и  $(Th, Ce)_3Si_2-Ce_2Si-(Th, Ce$  тв. р-р). Взаимная р-римость силицидов  $U$  и  $Ce$  весьма ограничена.

В. Нешпор

VIII

Ln. Si O<sub>5</sub>

Ln. Be O<sub>5</sub>

1968

VIII 3869

Bruissois C., Michel C.  
Mater. Res. Bill.

1968, 3, w2, 193-197



Pelle

PZLXw, 185473 1968

C<sub>2</sub>Si<sub>2</sub>O<sub>7</sub>

VIII - 3/45

1970

15 Б746. Твердые растворы в системе  $Y_2Si_2O_7$ — $Ce_2Si_2O_7$ . Торопов Н. А., Андреев И. Ф., Соколов А. Н. Санжаревская Л. Н. «Изв. АН СССР. Неорг. материалы», 1970, 6, № 3, 519—523

В результате анализа показателей светопреломления, плотности и рентгенографич. характеристик образцов системы  $Y_2Si_2O_7$ — $Ce_2Si_2O_7$ , полученных твердофазовым синтезом в интервале т-р 1200—1350° могут быть выделены следующие крист. фазы: тв. р-ры со структурами  $\beta$ - $Y_2Si_2O_7$  (составы  $Y_2Si_2O_7$ — $Y_{1,97}Ce_{0,03}Si_2O_7$ ),  $\alpha$ - $Y_2Si_2O_7$ ,  $Ce_2Si_2O_7$  и область тв. р-ров на основе  $Y_2Si_2O_7$ . Обратимый переход  $\beta \rightleftharpoons \alpha$ - $Y_2Si_2O_7$  находится в интервале 1300—1400°.  $Ce_2Si_2O_7$  плавится конгруэнтио при  $1770 \pm 25^\circ$ . Д. А.

T<sub>m</sub>

+1

X 1970, 15



$\text{Y}_2\text{Si}_2\text{O}_7$

VIII-3445

1970

137465m Solid solutions in the  $\text{Y}_2\text{Si}_2\text{O}_7$ - $\text{Ce}_2\text{Si}_2\text{O}_7$  system.  
Toropov, N. A.; Andreev, I. F.; Sokolov, A. N.; Sanzharevs-  
kaya, L. N. (Leningrad. Tekhnol. Inst. im. Lensoveta, Lenin-  
grad, USSR). *Izv. Akad. Nauk SSSR, Neorg. Mater.* 1970,  
6(3), 519-23 (Russ). Within the compn. range  $\text{Y}_2\text{Si}_2\text{O}_7$ - $\text{Y}_{1.8}\text{Ce}_{0.2}\text{Si}_2\text{O}_7$ , samples were synthesized every 0.5 mole %. The  
samples were synthesized at 1350-1450° both in a reducing atm.  
and in a Silit furnace. The phase compn. of the products ob-  
tained was studied by crystallo-optical anal., and x-ray diffrac-  
tion, and ir spectroscopy. The following cryst. phases were  
present: solid solns. with the structures  $\beta$ - $\text{Y}_2\text{Si}_2\text{O}_7$  (compns.  
 $\text{Y}_2\text{Si}_2\text{O}_7$ - $\text{Y}_{1.97}\text{Ce}_{0.03}\text{Si}_2\text{O}_7$ ),  $\alpha$ - $\text{Y}_2\text{Si}_2\text{O}_7$ ,  $\text{Ce}_2\text{Si}_2\text{O}_7$ , and a region of  
solid solns. designated as  $\text{Y}_2\text{Si}_2\text{O}_7$  solid solns. The crystal struc-  
ture of the last solid soln. is apparently identical to the  $I'$  type  
structure of the diorthosilicates. Due to the weak crystn. of the

C.A. 1970. 72-26

samples prep'd. by solid-phase synthesis, the homogeneity region of solid solns. with the  $\beta$ - $Y_2Si_2O_7$  structure was detd. on the basis of ir absorption spectra. The  $\alpha$ - $Y_2Si_2O_7$  can be prep'd. by quenching the samples at  $>1350^\circ$ . There is a reversible  $\beta$ - $Y_2Si_2O_7 \rightleftharpoons \alpha$ - $Y_2Si_2O_7$  phase transition at  $1300-1400^\circ$ . The  $Ce_2Si_2O_7$  m. congruently at  $1770^\circ$  and does not undergo polymorphic phase transformations. The  $ns$  and the d. of the compns. of the system were detd. Also detd. were the liquidus-solidus curves for the  $Y_2Si_2O_7-Ce_2Si_2O_7$  system.

S. A. Mersol

procurement  
regarding  
Amadesi S.,  
Phys. Lett., 1971, A35, N4, 289-90 (and.)

Heat capacity of rare earth  
iron garnets with induced  
noncollinear structure.

Б @р

22

(all operations) CA, 1971, 75, N12, 810441

$\text{Ln}\{\text{N}(\text{SiMe}_3)_2\}_3$  [Ln = La, Ce, Pr, Nd, Sm, Eu, Gd, Ho, YB, Lu, Y (Tm)] 1973

Bradley D.C., Ghosh J.S., Hazz F.R. VII S613

J. Chem. Soc. Dalton Trans., 1973, N10, 1021-1023/6<sub>en.</sub>

Low co-ordination numbers in lanthanide and actinide compounds. Part I. The preparation of  $\text{Pr}_{2}\{\text{bis}(\text{trimethylsilyl})\text{-amido}\}_3$  Lanthanides

D.H.K.M., 1973

22350

10-26  
5 (P) 16

CeSiC

BGP - 5846 - VIII

1973

6 Б73.) Масс-спектрометрическое изучение молекул CeSiC. Guido M., Gigli G. Mass spectrometric study of the CeSiC molecule. «J. Chem. Phys.», 1973, 59, № 6, 3437—3438 (англ.)

На масс-спектрометре, снабженному футерованной графитом вольфрамовой эмиссионной ячейкой, над смесью порошка графита с CeSi обнаружены молекулы CeSiC и определены условия их существования. Наиболее интенсивные пики соответствуют ионам  $\text{Si}^+$ ,  $\text{SiC}_2^+$ ,  $\text{SiC}^+$ ,  $\text{Ce}^+$ ,  $\text{CeC}_2^+$  и  $\text{CeSiC}^+$ , имеющим потенциалы появления  $8,1 \pm 0,5$ ;  $10,3 \pm 0,5$ ;  $9,5 \pm 0,5$ ;  $5,6 \pm 0,5$ ;  $6,2 \pm 0,5$  и  $\sim 9$  эв соотв. Энергия атомизации  $\Delta H_0^\circ$ , ат ( $\text{CeSiC}$ ) =  $= 250 \pm 10$  ккал/мол. Исследования проведены в интервале т-р  $2100—2500^\circ\text{K}$ . В. С. Смоляков

( $\Delta H_0^\circ$ )

X 1974 N 6

CeSiC

BGP-5846-VIII

1973

З Д251. Масс-спектрометрическое изучение молекулы CeSiC. Guido M., Gigli C. Mass spectrometric study of the CeSiC molecule. «J. Chem. Phys.», 1973, 59, № 6, 3437—3438 (англ.)

В температурном интервале 2122—2466° К масс-спектрометрически исследован состав паров, содержащих молекулы CeSiC. Измерена энергия атомизации этой молекулы  $\Delta H_{0,t}^{\circ}=251\pm 8$  ккал/моль и изменение энталпии  $\Delta H_0^{\circ}$  в реакциях  $\text{CeSiC}+\text{Si}=\text{Ce}+\text{Si}_2\text{C}$  ( $\Delta H_0^{\circ}=-8\pm 3$  ккал/моль) и  $\text{CeSiC}+\text{SiC}_2=\text{CeC}_2+\text{Si}_2\text{C}$  ( $\Delta H_0^{\circ}=-12\pm 4$  ккал/моль). Б. Ф. Гордиец

44; Делиги  
засущ

Ф. 1974 № 3

CeSiC BP-5846-VII

1973

(80%)  
8253g Mass spectrometric study of the cerium-silicon-carbon (CeSiC) molecule. Guido, M.; Gigli, G. (Ist. Chim., Univ. Roma, Rome, Italy). *J. Chem. Phys.* 1973, 59(6), 3437-8 (Eng.). The mol. CeSiC was identified in the vapor issuing from a graphite-lined W cell loaded with graphite powder and CeSi<sub>2</sub>. The atomization energy of CeSiC was estd. to be 250 ± 10 kcal/mole.

C.A. 1974. 80 n2

$\ell Si_2 (r^b)$

1974

Basim Y., et al

298 - 1500

molc II, cup. 166



(see Ag) I

Ce Six

1977

86: 146670r Enthalpies of formation of silicon-cerium molten alloys. Ryss, G. M.; Esin, Yu. O.; Stroganov, A. I.; Gel'd, P. V. (USSR). *Zh. Fiz. Khim.* 1977, 51(1), 232-3 (Russ). The partial and integral enthalpies of soln. of components in molten alloys of the Si-Ce system (contg. 0.55 at.% Si and 0.55 at.% Ce) at 1650° were detd. by a high-temp. calorimeter with an isothermal jacket. The 1st partial enthalpy of Ce dissoln. in Si  $\Delta H_{Ce}^{\text{ss}} = -236.8$  kJ/g.atom and for Si dissoln. in Ce  $\Delta H_{Si}^{\text{ss}} = -207.5$  kJ/g.atom. The min. value of integral enthalpy of soln.  $\Delta H_{\text{min}} = -74$  kJ/g.atom occurs when forming an alloy contg. 48 at.% Ce. J. J. Linek

(4Hf)

C.A. 1977 86 v20

# Серик (сплав)

1977

11 Б618. Энталпии образования жидких сплавов кремния с церием. Рысс Г. М., Есин О. О., Страганов А. И., Гельд П. В. «Ж. физ. химии», 1977, 51, № 1, 232—233

(44f)

В высокот-рном калориметре с изотермич. оболочкой определены энталпии р-рения компонентов в жидк. сплавах системы кремний—церий при 1650°. Первая парц. теплота р-рения церия в кремнии  $\Delta\bar{H}_{\text{Cl}}^{\infty} \approx -236,8$  кдж/г-ат, кремния в церии  $\Delta\bar{H}_{\text{Si}}^{\infty} \approx -207,5$  кдж/г-ат. Миним. значение интегральной теплоты  $\Delta H_{\text{мин}} \approx -74$  кдж/г-ат имеет место при образовании сплава, содержащего ~48 ат.% церия. Резюме

Х.1977. №11

1978

# Се - сплав с Li

Се Li

ЗБ771 Деп. Энталпии образования расплас-  
церия с кремнием. Рысс Г. М., Есин Ю. О., Пе-  
рушевский М. С., Строганов А.  
Гельд П. В. (Редколлегия «Ж. физ. химии» А  
ССР). М., 1978. 9 с., ил., библиогр. 7 назв. (Рукопись  
деп. в ВИНИТИ 25 окт. 1978 г., № 3358—78 Деп.).

С помощью высокоточного калориметра измерены  
энталпии образования жидких сплавов церия с кре-  
мием при 1920 К. Они характеризуются значительными  
отклонениями от закона Рауля. Рассчитанные на ос-  
нове модели микронеоднородного строения расплавов  
параметры ближнего порядка и изменения энергий  
межатомного взаимодействия позволяют отнести эти  
сплавы к системам с сильным взаимодействием компо-  
нентов.

Автореферат

х. 1949, № 3

Ce-Si

Chelik

( $\beta$ Hf)

25/9

91: 61348v Enthalpies of formation of cerium-silicon melts:  
Ryss, G. M.; Esin, Yu. O.; Petrushevskii, M. S.; Stroganov, A. I.; Gel'd, P. V. (Ural. Politekh. Inst., Sverdlovsk, USSR). *Zh. Fiz. Khim.* 1979, 53(5), 1352-3 (Russ). The enthalpies of formation of molten Ce-Si alloys were detd. at 1920 K over the entire concn. range. The 1st partial enthalpies of dissoln. of Ce in Si and of Si in Ce were -237 and -208 kJ/g-atom, resp. The min. value of integral enthalpy of formation of Ce-Si melts was 74 kJ/g-atom at 52 at.% Si. The Ce-Si melts belong to systems with strongly interacting components.

PA 1979/118

CeSiP<sub>3</sub>

1980

✓ 21 В12. Об образовании и химическом переносе  
CeSiP<sub>3</sub>. Миронов К. Е., Абдуллин Р. В. «Ж.  
неорган. химии», 1980, 25, № 8, 2062—2066

При р-ции CeP с J<sub>2</sub> в кварцевой ампуле в условиях  
хим. транспорта в зоне кристаллизации образуются  
кристаллы CeSiP<sub>3</sub>, внутренняя поверхность ампулы  
покрывается слоем Ce<sub>2</sub>SiO<sub>5</sub>. Рассмотрена и обоснована  
совокупность р-ций, приводящих к получению на-  
званных продуктов. Итоговое ур-ние соответствует  
р-ции       $3 \text{CeP} + \text{J}_2 + 2,5 \text{SiO}_2 = \text{CeSiP}_3 + \text{Ce}_2\text{SiO}_5 + 0,5 \text{SiJ}_4$ .

Резюме

X. 1980 № 21

$\text{Ce}_2\text{O}_3 \cdot \text{Si}_3\text{N}_4$  1982

$\text{Ce}_2\text{O}_3 \cdot \text{SiO}_2$  Kayfman Yarry,  
ugp. Hayes Fred., et al.

High Temp.-High  
Pressures, 1982, 14,  
N6, 619-631.

( $\text{Ce}_2\text{Si}_2\text{N}_2\text{O}$ ; ?)

$\text{CeSi}_2$  Lommelck 13457/1982

96: 134482z Thermal and magnetic properties and crystal structures of cerium germanide ( $\text{CeGe}_2$ ) and cerium silicide ( $\text{CeSi}_2$ ). Yashima, H.; Satoh, T.; Mori, H.; Watanabe, D.; Ohtsuka, T. (Fac. Sci., Tohoku Univ., Sendai; Japan). *Solid State Commun.* 1982, 41(1), 1-4 (Eng).  $\text{CeSi}_2$  and  $\text{CeGe}_2$  are tetragonal, with  $a$  4.184, 4.282, and  $c$  13.856, 14.081 Å, resp. The magnetic susceptibility and sp. heat data are given. The results suggest that Ce in  $\text{CeSi}_2$  is in the intermediate valence state. The existence or nonexistence of superlattice structures is also discussed. Magnetic structure is discussed.

(C)

⊗

⑦

$\text{CeGe}_2$

C.A. 1982, 96, N16

*CeSiO<sub>2</sub>N*

1983

22 Б2309. Электронная микроскопия политипов Ce—N— $\alpha$ -волластонита. Electron microscopy of Ce—N— $\alpha$ -wollastonite polytypes. Jameel N. S., England P. J. «Electron Microsc. and Anal., 1983. Proc. Inst. Phys. Electron Microsc. and Anal. Group Conf., Guildford, 30 Aug.—2 Sept., 1983». Bristol; London, 1984, 393—396 (англ.). Место хранения ГПНТБ СССР

На основе  $\alpha$ -волластонита  $\text{CaSiO}_3$ , структура к-рого содержит 3-членные кольца из тетраэдров  $\text{Si}_3\text{O}_9$ , могут быть получены различные керамики состава  $\text{MSiO}_2\text{N}$  ( $M = \text{Y}$ , La или Ce). Осуществлен синтез (взаимодействием  $\text{CeO}_2$  и  $\text{Si}_3\text{N}_4$  при т-ре 1600—1700° С и электронно-микроскопич. исследование образцов Ce—N— $\alpha$ -волластонита  $\text{CeSiO}_2\text{N}$  (I). Установлено, что I проявляется в 2 политипных модификациях: 6-слойной монокл. с параметрами  $a$  1,2525,  $b$  0,7269,  $c$  2,8396 нм,  $\beta$  90,38°, образующейся выше 1650° С; и 2-слойной ромбич. с параметрами  $a$  1,2573,  $b$  0,7259,  $c$  0,9459, образующейся при т-рах ниже 1650° С.

С. В. Соболева

*политипы  
модификации.*  
X. 1985, 19, № 2.

$\text{Ce}_5\text{Si}_3$

1984

Al-Shahery G.Y.M.,  
McColm I.J.

Ce<sub>5</sub>Si<sub>3</sub>-  
nypa

J. Less-Common Me-  
tals, 1984, 98, N1,  
L5-L8.

(Ces.  $\text{La}_5\text{Si}_3$ ; I)

CeSiC(2) Om. 23253 1985

Gingerich K. A.,

J. Less-Common Metals,  
1985, 110, N1-2; 41-51:

Int. Rare Earth Conf.,  
Zürich, March 4-8, 1985,  
Pt 1.

KP, Δf, H;

$\text{Si} \cdot \text{CeO}_3$

1986

(mb. p-p)

104: 156862j Thermodynamic phase and boundary properties of cubic strontium oxide-cerium dioxide system solid solutions. Sorokina, S. L.; Skolis, J.; Kovba, M. L.; Levitskii, V. A. (Mosk. Univ., Moscow, USSR). *Zh. Fiz. Khim.* 1986, 60(2), 310-13 (Russ). Emf. measurements with solid electrolyte electrodes were used to det. the thermodn. properties of  $\text{SiCeO}_3$  [12267-97-9] and of solid solns. of  $\text{SrO}$  [1314-11-0] with  $\text{CeO}_2$  [1306-38-3] having fluorite structures. X-Ray anal. and electrochem. methods are used to det. the limiting solv. of  $\text{SiO}$  in  $\text{CeO}_2$  at 1200-1400 K (8 mol.%).

(mpm. cb-8a)

$\text{O}_2$   $\text{SrO} \cdot \text{CeO}_3$  mb. p-p

C. A. 1986, 104, N 18.

Cedix

[Om. 23661]

1986

Yashima H., Tin Ch.F.,  
Satoh T.,

G;

Solid State Commun.  
1986, 57, N 10, 793-  
796.

CeSi<sub>x</sub>

1987

(C<sub>p</sub>)

109: 80830c Heat capacity measurements from 150 mK to 1.5 K on some cesium-silicon (CeSi<sub>x</sub>) metallic alloys. Klavins, P. (Ames Lab., Ames, IA USA). Report 1987, IS-T-1315; Order No. DE87013598, 61 pp. (Eng). Avail. NTIS. From Energy Res. Abstr. 1987, 12(21), Abstr. No. 43540. A calorimeter is described which was designed to operate in the temp. range 150 mK to 1.5 K. The addenda was constructed with materials that have small heat capacities so that the heat capacity contribution of the addenda was much smaller than that of the sample being measured. A bellows type heat switch was used to cool the sample and a std. heat pulse measurement technique was used to obtain data. The heat capacities of two copper samples were measured in order to test the calorimeter. Deviation from the copper ref. equation was obsd. below 0.45 K. The heat capacities of CeSi<sub>1.85</sub> and CeSi<sub>1.855</sub> were measured in the temp. range 150 mK to 1.5 K to det. the nature of their magnetic state. Results indicated that both CeSi<sub>1.85</sub> and CeSi<sub>1.855</sub> are nonmagnetic down to 150 mK.

C.A. 1988, 109, N 10

$\text{Li}_5\text{Si}_3$  (Om 28358)

1987

Kontani M., Senda M.,  
Nakano M., et al.,

MARSHALL

PB 82

J. Matr. and Matr. Mater.,  
1987, 70, N1-3, 378-380

CeSi<sub>x</sub> DM. 29517

1988

109: 47112x Thermal, electrical and magnetic properties of the ferromagnetic dense Kondo system cerium silicide (CeSi<sub>x</sub>). Sato, Nobuya; Mori, Hiroshi; Satoh, Takeo; Miura, Tsuneo; Takei, Humihiko (Fac. Sci., Tohoku Univ., Sendai, Japan 980). *J. Phys. Soc. Jpn.* 1988, 57(4), 1384-94 (Eng). Single crystals of the ferromagnetic dense Kondo system CeSi<sub>x</sub> were grown, and the sp. heat, the elec. resistivity and the magnetic susceptibility were measured. Elec. resistivity measurements clearly show typical Kondo behavior, which unambiguously tells that CeSi<sub>x</sub> is a ferromagnetic dense Kondo system. The appreciable anisotropy of the magnetic susceptibility is analyzed in terms of the cryst. field effect and a conjecture is made that the ground doublet is a  $t_7^*$ -like doublet.

(p)

C.A.1988, 109, N 6

Ce-Si  
Ce-Ni

1988

111: 13281c Heats of formation of cerium-(silicon, nickel, copper) liquid binary alloys. Sudavtsova, V. S.; Gorobets, Yu. G.; Batalin, G. I. (Kiev. Gos. Univ., Kiev, USSR). *Rasplavy* 1988, 2(6), 79-81 (Russ.). Calorimetric measurements (method described by the authors, 1984) were used to study the Ce-(Si, Ni, Cu) alloy m. 1890, 1870, and 1555 K, resp. Activity coeffs. and excess entropies and enthalpies were calcd.

(Pm)

(H2)



Ce-Ni Ce-Ni  
Ce-Cu Ce-Cu

c.A. 1989, III, N2

CeSi<sub>2</sub>

1990

114: 172581d Specific heat of the heavy fermion system cerium rhodium ruthenium silicide ( $Ce(Rh_{1-x}Ru_x)_2Si_2$ ). Calemczuk, R.; Bonjour, E.; Rossat-Mignod, J.; Chevalier, B. (Dep. Rech. Fondam., Cent. Etud. Nucl., 38041 Grenoble, Fr.). *J. Magn. Magn. Mater.* 1990, 90-91, 477-8 (Eng). The results of sp. heat measurements on several samples of the  $Ce(Rh_{1-x}Ru_x)_2Si_2$  system in the temp. range 0.3-50 K are reported. A well defined sp. heat anomaly is obsd. only up to  $x = 0.45$  indicating that the long range antiferromagnetic ordering disappears above this Ru content in agreement with neutron scattering results. The low temp. limit of  $C/T$  exhibits a max. (600  $\mu$ J/K<sup>2</sup>·mol) at this crit. concn.

( $C_p$ , 0.3-50K)

C.A. 1991, 114, N18

Liz Sizt

(OM 34268)

1990

O'Brien M.H.,  
Aking M.,

$\Delta H_f$ ; J. Solid State Chem.,  
1990, 84, n1, 130-137.

lefir

(Om. 35819)

1990

Patthey F., Imre J.-B.,  
et al.,

Ponomarev,  
Chekmay  
Mirelman,  
Lodzgians  
Mihailov,  
Mavrukh,  
Bochkova.

Phys. Rev. B. 1990, 42,  
N 14, 8864-8881.

High-resolution photo-  
emission study of

the low-energy excitations  
in 4f-electron systems.

Léa Siebz

LM-36872

1991

Cordfunke E.H.P.,  
Hunstlaar M.E.,  
Draft.

(Tm)

Thermochemical Data  
for the silicates and zir-  
conates of Barium, stro-

ntium, Lanthanum, and Cerium  
prepared ~~for~~ for Electric Power  
Research Institute 3412 Hill-  
view Avenue Palo Alto, Cali-  
fornia 94304, March, 1991.

CeSi<sub>x</sub>

1991

114: 257255a Crystal instability in cerium silicide. Murashita, Y.; Sakurai, J.; Satoh, T. (Fac. Sci., Hiroshima Univ., Hiroshima, Japan 730). *Solid State Commun.* 1991, 77(10), 789-92 (Eng). In samples of CeSi<sub>x</sub> with  $x \leq 2.00$  having a tetragonal  $\alpha$ -ThSi<sub>2</sub> type crystal, an abnormal thermal contraction in addn. to a crystal phase transition with a finite jump in lattice parameter c, keeping the same crystal structure, were obsd. The instability of the crystal structure is discussed tentatively in term of its free energy.

REVIEW  
YOUNGUL

C.A. 1991, 114, n 26

Ce<sub>4,67</sub>[SiO<sub>4</sub>]<sub>3</sub>O

1992

У 7 Б2019. Пересмотренные рентгенодифракционные  
данные для цериевого оксиапатита Ce<sub>4,67</sub>[SiO<sub>4</sub>]<sub>3</sub>O. Cerium  
oxygen apatite (Ce<sub>4,67</sub>[SiO<sub>4</sub>]<sub>3</sub>O) X-ray diffraction pattern  
revisited /Tas G. A., Akine M. //Powder Diffraction. —1992  
—7, № 4.—С. 219—222.—Англ.

Предложена новая эталонная рентгенограмма ( $\lambda$  Cu-  
К $\alpha_1$ , 25° С) для соед. Ce<sub>4,67</sub>[SiO<sub>4</sub>]<sub>3</sub>O (I). Параметры гекса-  
гон. решетки I, полученного твердофазной р-цией из  
CeO<sub>2</sub> и SiO<sub>2</sub> — а 9,6578, с 7,1187 Å. Недавно записанные  
в файл PDF 31—0336 данные для (I) не соответствуют  
действительности, а совпадают с PDF 33—0333 для це-  
риевого «нитро»апатита Ca<sub>5</sub>[SiO<sub>4</sub>]<sub>3</sub>N. В. П. Сиротинкин

Х. 1993, № 7

*L<sub>2</sub>Si<sub>2</sub>O<sub>7</sub>*

20 Б3063. Образование соединений в системе Ce<sub>2</sub>O<sub>3</sub>—SiO<sub>2</sub>. Compound formation in the Ce<sub>2</sub>O<sub>3</sub>—SiO<sub>2</sub> system /van Hal H. A. M., Hintzen H. T. //J. Alloys and Compounds.—1992.—179, № 1—2.—С. 77—85.—Англ.

С использованием РФА изучено образование соед. в системе Ce<sub>2</sub>O<sub>3</sub>—SiO<sub>2</sub>. Образцы готовили смешением стехиометрич. кол-в Ce(NO<sub>3</sub>)<sub>3</sub>•xH<sub>2</sub>O и тетраэтилортосиликата, испарением р-ров при распылении с послед. отжигом порошков на воздухе и восст. среде (7 об.% H<sub>2</sub>+93 об.% N<sub>2</sub>). Установлено образование фазы G= Ce<sub>2</sub>Si<sub>2</sub>O<sub>7</sub> в окислит. среде, устойчивой при т-ре >1400° С, и имеющей ромбич. ячейку (a=8,722 Å, b=13,056 Å и c=5,401 Å). A=Ce<sub>2</sub>Si<sub>2</sub>O<sub>7</sub>, с тетрагон. ячейкой (a=6,799 Å, c=24,734 Å) образуется при низких т-рах. В восст. среде при т-ре ~1000° С получено соед. Ce<sub>4,67</sub>Si<sub>3</sub>O<sub>13</sub> со структурой апатита (гексагон. ячейка с a=9,657 Å и c=7,121 Å). При отношении Ce:Si=2:1 и т-ре >1000° С получена фаза α=Ce<sub>2</sub>SiO<sub>5</sub> с монокл. ячейкой (a=9,282 Å, b=7,390 Å, c=6,972 Å и β=108,33°). Объем ячейки α=Ce<sub>2</sub>SiO<sub>5</sub> и A=Ce<sub>2</sub>Si<sub>2</sub>O<sub>7</sub> соответствует общей закономерности зависимости объема ячейки Ln<sub>2</sub>SiO<sub>5</sub> и A=Ln<sub>2</sub>Si<sub>2</sub>O<sub>7</sub> от куба длины связи Ln—O.

Ю. В. Соколова

*Структура*

X. 1992, № 2.

$Ce_2Si_2O_7$

1993

, 119: 81226d Phase relations in the system alumina-cerium pyrosilicate ( $Ce:Si:O$ ) in the temperature range  $900^\circ$  to  $1925^\circ C$  in inert atmosphere. Tas. A. Cuneyt; Akinc, Musit (Dep. Mater. Sci. Eng., Iowa State Univ., Ames, IA 50011 USA). J. Am. Ceram. Soc. 1993, 76(6), 1595-601 (Eng). Equil. relations in the system  $Al_2O_3-Ce_2Si_2O_7$  in inert atm. were studied at  $900 \rightarrow 1925^\circ$ . A simple eutectic reaction was found at  $1375^\circ$  and 51 mol%  $Ce_2Si_2O_7$ . A high-low polymorphic transformation in  $Ce_2Si_2O_7$  was obed. at  $1274^\circ$ . New XRD patterns are suggested for both polymorphs of Ce pyrosilicate. The m.p. of  $Ce_2Si_2O_7$  is  $1788^\circ$ . A value for  $\Delta H_{m,Ce_2Si_2O_7}$  of 36.81 kJ/mol was calcd. from the initial slope of the exptl. detd. liquidus in equil. with the pyrosilicate phase.

( $T_{tz}$ ,  $T_m$ )

C.A. 1993, 119, N 8

$\text{La}_{2}\text{Si}_2\text{O}_7$

1994

Rödfunke E.H.P.,

ECN-C [Rep.] 1994;

ENC-C-94-007, 2SPP.

SxH,

SxH<sub>298</sub>

(all.  $\text{Y}_2\text{Si}_2\bullet\text{O}_7 ; \bar{I}$ )

*Ce<sub>2</sub>Si<sub>2</sub>O<sub>7</sub>*

*1994*

24 Б251. Рентгеноструктурное изучение Ce<sub>2</sub>Si<sub>2</sub>O<sub>7</sub>. X-ray crystallographic study of Ce<sub>2</sub>Si<sub>2</sub>O<sub>7</sub>. / Nørlund Christensen A., Hazell R. G. // Acta chem. scand. — 1994. — 48, № 12. — С. 1012—1014. — Англ.

При 25 °C выполнен РСТА монокристаллов Ce<sub>2</sub>Si<sub>2</sub>O<sub>7</sub> (I). Структура I моноклинная, ф. гр. P2<sub>1</sub>/c (№ 14);  $a = 5,4116$ ,  $b = 8,742$ ,  $c = 14,158$  Å,  $\beta = 112,26^\circ$ ; Z 4;  $\rho$ (выч.) 4,80; R 7,2% для 2806 отражений с  $I > 3\sigma(I)$ . Для Si<sub>2</sub>O<sub>7</sub> найдены средние расстояния Si—O: мостиковые 1,621 Å и концевые 1,620 Å, между которыми нет заметных различий. 2 атома Ce координированы 8 атомами O каждый в форме слегка искаженных кубов CeO<sub>8</sub>: расстояния Ce—O вариируют от 2,28 до 2,78 Å. Эти расстояния сопоставимы с расстояниями Ce—O в координационном полиэдре CeO<sub>8</sub> сажинита, Na<sub>2</sub>Ce[Si<sub>6</sub>O<sub>14</sub>(OH)] • nH<sub>2</sub>O.

Ф. М. Спиридонов

*Структура*

*X. 1995, № 24*

*CeSi<sub>2</sub>P<sub>6</sub>*

1995

У 13 Б245. Кристаллическая структура CeSi<sub>2</sub>P<sub>6</sub>. The crystal structure of CeSi<sub>2</sub>P<sub>6</sub> / Kaiser P., Jeitschko W. // 15th Eur. Crystallogr. Meet. (ECM-15), Dresden, 28 Aug. — 2 Sept., 1994: Book Abstr. — München, 1995. — С. 433. — Англ.

Синтезированы монокристаллы CeSi<sub>2</sub>P<sub>6</sub> из оловянного флюса и проведен их РСТА. Параметры ромбич. решетки: а 1011,8, б 2803,1, с 1032,5 пм, Z 16, R 0,036 для 2134F, ф.гр. Cmc2<sub>1</sub>. У трех атомов Ce КЧ равно 9 и у одного — 10. Координация всех атомов Si тетраэдрич. из атомов P. Большинство атомов P кроме соседних Si и Ce имеют рядом атомы P. Ф-ла м. б. записана как Ce<sup>3+</sup>(Si<sub>2</sub>P<sub>6</sub>)<sup>3-</sup>. Каркас Si<sub>2</sub>P<sub>6</sub> трехмерный и содержит каналы с атомами Ce внутри. Н. Л. Смирнова.

*Кристал-  
структур*

X. 1995, N 13

$\text{Cs}_2\text{Si}_2$ ,  $\text{Cs}_2\text{Si}$

1995

Meschel S.V., Kleppa O.Y.

$\gamma$ . Alloys and Compounds —

SHF 1995, 220, VI-2, c. 88-93

(all.  $\text{Cs}_2\text{Si}$ ; 5)

1995

 $Ce_3[Si_6N_{11}]$ 

19 Б239. Нитридо-силикаты. III. Высокотемпературный синтез, кристаллическая структура и магнитные свойства  $Ce_3[Si_6N_{11}]$ . Nitridö-silicate. III. Hochtemperatur-Synthese, Kristallstruktur und magnetische Eigenschaften von  $Ce_3[Si_6N_{11}]$  / Schlieper T., Schnick W. // Z. anorg. und allg. Chem. — 1995. — 621, № 9. — С. 1535—1538  
— Нем. ; рез. англ. . Место хранения ГПНТБ

Реакцией металлического Ce с димидом кремния ( $Ce:Si=1:2$ ) в атмосфере азота при 1660 °C синтезированы прозрачные желтые кристаллы  $Ce_3[Si_6N_{11}]$  ( $M = 495,3$ ) и выполнен их РСТА при 298К. Структура тетрагональная, ф. гр. P4bm (№ 100); а 1014,2, с 484,4 пм; Z 2;  $r$  (выч.) 4,953; R 0,034 для 515 наблюдаемых отражений. Структура содержит ионы  $Ce^{3+}$  и трехмерные ковалентные анионные каркасные структуры из сочлененных вершинами тетраэдров  $SiN_4$ . Координационные полизэдры вокруг  $Ce(1)$ -двушапочные пентагональные пирамиды, вокруг  $Ce(2)$ -квадратные антипризмы. Расстояния  $Ce^{3+}-N$  (252—285 пм) соответствуют областям сумм ионных радиусов. В интервале температур 2—300К не выявлено магнитное упорядочение. Выше 100К отмечена однозначная зависимость Кюри-Вейсса, при комнатной температуре

 $\mu_{\text{эфф}} = 2,10 \mu_B$ 

Ф. М. Спиридонов

X. 1996, N/g

Cz field Lm. 39319

1996

Soleck M, Cordfrenke E.H.P.,  
et al;

measures. Thermochim. Acta,  
9-III 1996, 284, 253-261  
(Y-1080L) The heat capacity  
and derived thermodynam-

nic functions to Yaz field  
and Cz field from 4 to 1000k.

$\beta$ -La<sub>2</sub>Si<sub>7</sub>

1996

Bolech M., Janssen F.G.J.F.  
et al.,

Dff. J. Chem. Thermodyn. - 1996,  
28, N11, C. 1319 - 1324.

(all.  $\beta$ -La<sub>2</sub>Si<sub>7</sub>O<sub>7</sub>) I

$\text{Fe}_5\text{Si}_3$  1996  
Meschel S.V., Kleppac O.J.

$\text{B}_{54}\text{Fe}_{40}$  g. Alloys Compd 1996,  
243 (1-2), 186 - 193

(cic. Kastanje Sm; I)

$\text{Li}_2\text{O}_3 / \text{SiO}_2$

1998

Bolech M., et al.,

ECN-C(Rep) 1998, (ECN-C-98-050),  
1-33pp

P

C3512

OM. 39 918

1999

Dhar S.K. et al.,

Physica, 1999, 8271, 150-157

Magnetic, transport and thermal  
behaviour

F: Ce-Si-Sb

1999

P: 1

131:303869 Phase equilibria in the Ce-Si-Sb  
ternary system at 670 K. Stets'kiv, A. O.;  
Pavlyuk, V. V.; Bodak, O. I. L'viv. Derzhavnii  
Univ. im. I. Franka Lvov, Ukraine Ukr. Khim. Zh.

(Russ. Ed.), 65(3- 4), 87-89 (Russian) 1999 Phase  
equil. in the ternary Ce-Si-Sb system were established  
in the isothermal section at 670 K by X-ray method. Two  
ternary compds., Ce<sub>3</sub>SiS and Ce<sub>2</sub>Si<sub>3</sub>Sb<sub>5</sub>, were revealed in  
the system. The crystal structure of Ce<sub>3</sub>SiSb belonging  
to the La<sub>3</sub>GeIn structural type was detd.